

I-5 波のエネルギー逸散を考慮した湾水振動の解析

徳島大学工業短期大学部 正員 村上仁士
徳島大学工学部 正員 ○越智裕

1. まえがき： 前回の講演会において、著者の1人は防波堤開口部に生ずる渦、乱れなどによる波のエネルギー逸散を導入して湾水振動を解析したが、振動特性については、定性的な傾向をみるとどまり、不都合な点も少くなかった。そこで、新たに開口部における波の変形を規定する諸量および逸散されるエネルギー量を実験的に把握し、その実験結果を用いて共振理論を導き、さらに解の数値計算を行ふとともに、解に関して実験的な検証を加えた。

2. 理論解析： 図-1に示すように、有限幅Bの外海に港湾幅b、開口幅c、湾長lの長方形港湾が直結するような1次元的取り扱いができる最も簡単なモデルを想定し、水深は港湾内外で一様とする。

波は微小振幅波を仮定し、単純に波の重ね合せができるものとする。長方形港湾における湾水の共振現象は、機械的に開口部で木槽断面が急縮する場合および急拡する場合のそれぞれの入射波、反射波および透過波を重ね合せたものと考えられ、まず断面急縮部における波の特性について解析する。

(i) 流量連続の条件；木槽IからIIへ波が進行する断面急縮の場合、開口部での流量の連続性から、 $(b/B)\bar{\alpha}_1 + \bar{B}_1 = \bar{J}$ (1) ただし、 $\bar{\alpha}_1 = \alpha_1 \exp(i\bar{\alpha}_1)$

($i\bar{\alpha}_1$)、 $\bar{B}_1 = B_1 \exp(i\bar{\alpha}_1)$ 、 $\bar{J} = J$ である。同様に、木槽IIからIへ波が進行する断面急拡の場合の連続式は、 $(B/b)\bar{\alpha}_2 + \bar{B}_2 = \bar{J}$ (2) ただし、 $\bar{\alpha}_2 = \alpha_2 \exp(i\bar{\alpha}_2)$ 、 $\bar{B}_2 = B_2 \exp(i\bar{\alpha}_2)$ である。ここに、記号 α および B は透過波および反射波の特性を示し、複素数を $-$ で表わすと、振幅はその絶対値、位相差は $\hat{\alpha}$ で示される。添字1、2はそれぞれ急縮および急拡の場合を示している。

(ii) エネルギー保存則；急縮および急拡の場合に、開口部における波のエネルギー逸散率をそれぞれ ε_1 および ε_2 とすると、エネルギー保存則から、 $B_1^2 + (b/B)\bar{\alpha}_1^2 + \varepsilon_1 = 1$ (3) $B_2^2 + (B/b)\bar{\alpha}_2^2 + \varepsilon_2 = 1$ (4) が求まる。また、 α_1 と α_2 との関係について、 $\alpha_2 = (b/B)\alpha_1$ (5) で与えられていく。したがって、 α_1 、 B_1 、 B_2 、 $\bar{\alpha}_1$ 、 $\bar{\alpha}_2$ 、 \bar{B}_1 、 \bar{B}_2 は α_1 の関数として、次式のようになる。

$$B_1 = \sqrt{1 - (b/B)\bar{\alpha}_1^2 - \varepsilon_1} \quad (6) \quad B_2 = \sqrt{1 - (B/b)\bar{\alpha}_2^2 - \varepsilon_2} \quad (7)$$

$$\bar{\alpha}_1 = \cos^{-1} \frac{1 + (b/B)(b/B)\bar{\alpha}_1^2 + \varepsilon_1}{2(b/B)\alpha_1} \quad (8) \quad \bar{\alpha}_2 = \cos^{-1} \frac{1 + (b/B)\bar{\alpha}_1^2 + \varepsilon_2}{2\alpha_1} \quad (9)$$

$$\bar{B}_1 = \cos^{-1} \frac{2 - \{1 + (b/B)(b/B)\bar{\alpha}_1^2 - \varepsilon_1\}}{2\sqrt{1 - (b/B)\bar{\alpha}_1^2 - \varepsilon_1}} \quad (10) \quad \bar{B}_2 = \cos^{-1} \frac{2 - \{1 + (b/B)\bar{\alpha}_1^2 - \varepsilon_2\}}{2\sqrt{1 - (B/b)\bar{\alpha}_1^2 - \varepsilon_2}} \quad (11)$$

上式で、 $\varepsilon_1 = \varepsilon_2 = 0$ とした場合には、Le Méhauté が導いた式と一致する。また、Le Méhauté は α_1 を与える実験式を提案しているが、その精度に問題があることがわかったので、ここでは著者らが導いた α_1 に関する実験式を用いることとする。 $\alpha_1 = (C/b)^{1/4} (B/b)^{1/4}$ (12) つぎに、湾奥における波高増幅率R(入射波高の2倍に対する湾奥の波高)の算定方法については、Le Méhauté の方法と同じであるため、ここでは省略し、結果のみを示すと次式のようになる。

$$R = \frac{r(1+P)\alpha_1}{2\sqrt{1 + (\beta_2 r^2 P)^2 - 2\beta_2 r^2 P \cos(\bar{B}_2 + 2\hat{F})}} \quad (13)$$

ただし、Pは湾奥の反射率、rは底面および側面における境界摩擦による波高減衰率を表わし、 \hat{F} は港口と湾奥との間の波の位相差で $\hat{F} = -2\pi l/L$ で与えられ、Lは波長である。なお、本理論の適用範囲は、開口部からの回折・散乱波の影響を無視できる $B/L \leq \frac{1}{2}$ のときであり、 $b/B \geq 0.2$ の場合に有効となる。

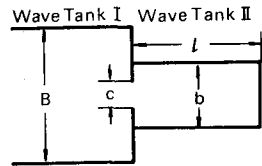


図-1 港湾モデル

3. 実験的検証: 水深15cm, 周期2secの波を用いた場合の実験結果と理論的解析結果とを比較し, 検証を行う。(13)式を数値計算するに当って, 未知数 ε_2 は文献(2)において, 同一諸元の波を用いて実験的に求められているので, その結果を使用し, 他の未知量 P および t は長周期の波の場合には, ほぼ1となる。図-2は縦軸に波高増幅率 R , 横軸に相対湾長 l/L をとり, 理論結果と実験結果を示したものであり, 従来の理論のうち, 代表的なLe Méhautéの理論およびIppen and Godaの理論結果も比較のために併記してある。図から, 開口部における波のエネルギー遮散を考慮した本理論の場合には, 従来の理論解に比べて実験結果とよく適合しており, 共振を生じる相対湾長およびそのときの波高増幅率(以下, 簡単に共振相対湾長および共振増幅率と呼ぶ)も非常によく一致しており, 本理論解が妥当であることがわかる。

4. 共振特性: 本理論による計算結果から, とくに共振相対湾長および共振増幅率の特性について考察する。図-3は, 開口比 c/b の増減による共振相対湾長 l_R/L の変化を示したものである。 l_R/L はどの相対港湾幅 b/B においても, 全開($c/b=1$)の場合に最大となり, b/B が大きく, c/b が小さくなるにつれて減少する。図-4は共振波高増幅率 R_R と c/b の関係を示したものである。図から, $b/B=1$ の場合を除いて, 全開のときに R_R は最大となり, c/b が小さくなるにつれて R_R は減少し, いわゆる harbor paradox は成立していないことがわかるが, $b/B=1$ の場合には, 逆に R_R は増大する傾向となり, harbor paradoxの成立していることがわかる。また, b/B が小さいほど R_R の変化率は大きくなり, $c/b=0.2$ 程度では, どの b/B についても R_R はほぼ1.2となる。

5. あとがき: 本研究によって, 外海幅が有限と考えられる1次元的の場合に, 実験結果とよく一致する解が得られたが, 今後, 外海幅が半無限の2次元的な広がりをもつ場合についても, 波のエネルギー遮散を考慮した湾水振動理論の確立が望まれる。最後に, 本研究にあたり有益な御助言を賜った, 京都大学岩垣雄一教授, 徳島大学三井宏教授, 実験などにご協力頂いた大学院生の島田富美男君に深謝の意を表すとともに, 本研究は文部省科学研修費(自然災害特別研究; 代表者岩垣雄一教授)による研究の一部であることを付記する。

参考文献

- 1) 村上仁士; 波のエネルギー損失を考慮した湾水振動の一解法, 第26回中四年講, 昭和49年5月。
- 2) 村上仁士; 断面急変部における波のエネルギー遮散について, 第27回中四年講, 昭和50年5月。

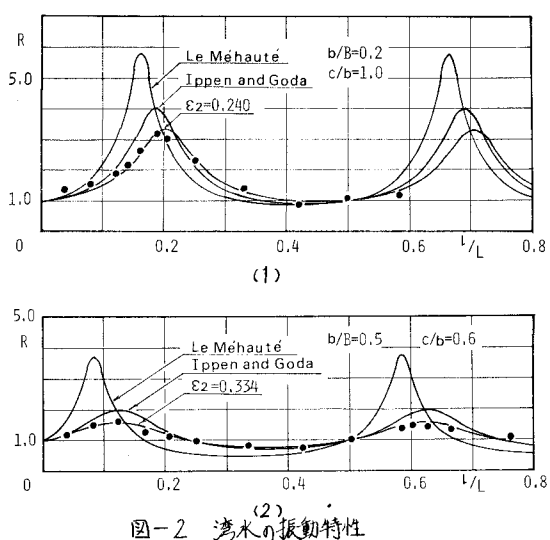


図-2 (2) 湾水の振動特性

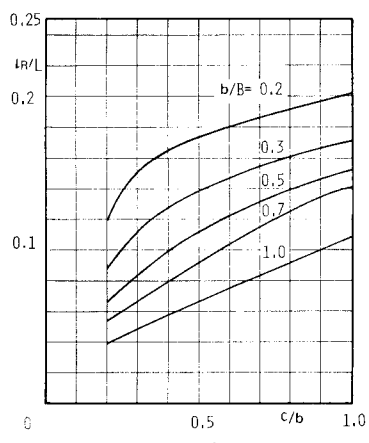


図-3 l_R/L の特性

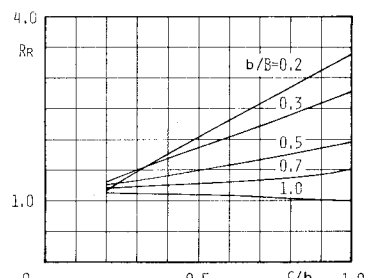


図-4 R_R の特性